

## 탄소 클러스터들에 관한 시뮬레이션(Ⅱ) —C<sub>6</sub>–C<sub>10</sub>의 구조와 에너지—

이종무

인하대학교 금속학과

Simulation of Small Clusters(Ⅱ)  
—Geometries and Energies of C<sub>6</sub>–C<sub>10</sub>—

Chong Mu Lee

Depment of Metallurgical Engineering, Inha University

요약 반경 협적 퍼텐셜 에너지 함수를 기초로한 스텝틱스(statics) 시뮬레이션에 의하여 여러 가지 형태의 C<sub>6</sub>클러스터들의 결합길이, 결합각 및 에너지를 구한 결과 C<sub>6</sub>의 평형구조는 정 6각형임을 발견하였다. 직선형과 사이클형의 C<sub>7</sub>–C<sub>10</sub>구조에 대해서도 결합길이, 결합각 및 에너지들을 구한 결과 정7각형, 정8각형, 정9각형 및 정10각형이 각각 직선형 구조보다 더 안정함을 발견하였다. 이 결과는 본 논문 1편에서 보고한 C<sub>2</sub>–C<sub>5</sub>의 평형구조가 직선형이라는 점과 관련시켜 볼 때 클러스터의 크기가 증가함에 따라 1차원적인 구조로부터 2차원적인 구조로 발전하며, 그 임계크기가 C<sub>6</sub>임을 시사하는 것이다.

**Abstract** The bond lengths, bond angles and energies of C<sub>6</sub> clusters are calculated by using the simulation technique based on some semiempirical potential energy functions, with the result that the equilibrium configuration of C<sub>6</sub> is a regular equilateral hexagon. The same simulations have been performed for linear and cyclic forms of C<sub>7</sub>–C<sub>10</sub> clusters and the results show that the regular heptagonal, octagonal, nonagonal and decagonal forms are more stable than the linear forms of the respective clusters.

Comparison of this result with the present author's previous result that the most stable configurations of C<sub>2</sub>–C<sub>5</sub> are linear implies that the most stable configuration of the cluster changes from one-dimensional to two-dimensional one as the cluster size increases and that the critical cluster size is C<sub>6</sub>.

### 1. 서론

본 논문의 1편<sup>1)</sup>에서는 T퍼텐셜(potential)과 본 논문의 저자들이 개발한 H퍼텐셜을 사용하여 스텝틱스(statics) 테크닉으로 C<sub>2</sub>–C<sub>6</sub>의 작은 탄소 클러스터(cluster)들에 관하여 시뮬레이션한 결과를 보고하였다. 본 2편에서는 1편에서와 동일한 퍼텐셜들과 시뮬레이션 테크닉을 사용하여 C<sub>6</sub>–C<sub>10</sub>의 작은 탄소 클러스터에 관한 연구는 실험상의 어려움으로 인하여 실험에 의한 연구는 별로 없었고, 대부분이 양자역학에 바탕을 둔 ab initio 계산에 의한 연구뿐이었으며, 그것도 몇개의 특정한 형태의 탄소 클러스터에 관한 것뿐이었다.

지금까지 보고된 탄소 클러스터들에 관한

이론적인 (ab initio)연구 결과들을 정리하면 다음과 같다: 1960년 Ransil<sup>2)</sup>과 1962년 Clementi 등<sup>3)</sup>은 Hartree-Fock계산에 의하여 C<sub>2</sub>와 C<sub>3</sub>의 기저상태(ground state)가 1Σg<sup>+</sup>임을 밝혔고, 그 후 Fougere 등<sup>4)</sup>(1966년), Liskow 등<sup>5)</sup> (1972년), Peric-Radic 등<sup>6)</sup>(1977년), Romelt 등<sup>7)</sup>(1978년), Whiteside 등<sup>8)</sup>(1981년)이 이를 확인한 바 있다. C<sub>4</sub>에 대해서는 1961년 Clementi<sup>9)</sup>가 single zeta STO basis를 사용하여 직선형 C<sub>4</sub>의 ground state가 3Σg<sup>-</sup>임을 계산으로 보였다. 또한 1981년 Whiteside 등<sup>10)</sup>은 C<sub>4</sub>의 가능한 ground state로서 직선형, 사이클형 및 bicyclic 형태들을 제시한 바 있는데, 그 중에서 두개의 π전자를 가진 bicyclic구조가 가장 안정된 구조인 것으로 보고하였다. 더

큰 탄소 클러스터에 대해서는, 1959년 Pitzer 와 Clementi<sup>11)</sup>가 Hückel MO 계산에 의하여 직선형  $C_n$ ( $n=2, 3, \dots, 17$ ) 분자들의 구조를 계산하고  $n$ 이 홀수인  $C_n$  클러스터의 구조는 singlet들이며,  $n$ 이 짝수인  $C_n$  클러스터들의 구조는 triplet들인 것으로 보고한 바 있다. 1966년 Hoffman<sup>12)</sup>은 확장된 Hückel이론에 의하여  $n < 9$ 의  $C_n$  분자들 경우에는 닫힌구조(closed structure)보다 직선형 구조가 더 안정한 반면,  $n > 9$ 의  $C_n$  분자들의 경우에는 직선형 구조보다 사이클형(즉, 정다각형)구조가 더 안정함을 보였다. 1981년 Slania 와 Zahradnik<sup>13)</sup>는 MINDO/2계산에 의하여  $C_5$ 의 평형구조는 trigonal bipyramidal형이며,  $C_6$ 의 평형구조는 변형된 octahedron구조임을 보고한 바 있다. 1982년과 1987년에 Ewing 과 Pfeiffer<sup>16)</sup>는 ab-initio Hartree-Fock계산에 의하여 직선형  $C_n$ ( $2 \leq n \leq 6$ )분자들에 대해 계산하고, 그들의 결합길이에는 거의 차이가 없으며,  $n$ 이 홀수인 경우에는 singlet,  $n$ 이 짝수인 경우에는 triplet ground state를 갖는 것으로 보고하였다. 1987년 Rao<sup>17)</sup>는  $C_2$ - $C_4$ 의 평형구조와 ground state에너지를 계산하고 이 연구에서  $C_4$ 의 평형구조는 사방형 구조(rhombus)임을 밝힌 바 있다. 같은해 Ott 와 Ray<sup>18)</sup>는 이를 확인하고 더 큰 탄소 클러스터( $n < 9$ )에 관해서도 ab initio계산을 수행하였다. 한편 1976년 Graham<sup>13)</sup>등은  $C_4$ 의 평형구조는 직선형이라고 보고하였으며 1986년 Magers 등<sup>14)</sup>은 사방형  $C_4$ 와 직선형  $C_4$ 의 안정도는 매우 비슷하나 직선형  $C_4$ 가 평형구조로서 더 유력한 것으로 보고한 바 있다. 1987년 Raghavachari 와 Binkley<sup>19)</sup>는 polarization함수와 electron correction효과를 포함한 ab initio계산에 의하여  $C_2$ - $C_{10}$ 의 구조와 에너지값을 구한 바 있다.

본 연구에서는 반경협적 퍼텐셜 에너지 함수(potential energy function : PEF)를 사용하여 여러가지 형태의 탄소클러스터들의 결합길이, 에너지값들을 구함으로써 작은 클러스터 영역에서 탄소원자들의 결합특성을 잘 파악하고, 나아가서 아직 잘 이해되지 않고 있는 다른 어려운 특성과 같은 별크(bulk)고체탄소 재료의 표면에서의 탄소원자의 흡착 및 탈착을 연구하는 데에 간접적인 도움을 주고자 한다.

## 2. 컴퓨터 시뮬레이션

본 연구에서 사용한 H퍼텐셜은 다음 식과 같다.

$$E = \frac{1}{2!} \sum_i \sum_j U_{ij} + \frac{1}{3!} \sum_i \sum_j \sum_k V_{ijk} \quad (1a)$$

$$U_{ij} = A \exp(-\alpha r_{ij}) - B \exp(-\beta r_{ij}) \quad (1b)$$

$$V_{ijk} = Z \{ f(r_{ik}, r_{ij}) g(\theta_i) + f(r_{jk}, r_{ij}) g(\theta_k) \} \quad (1c)$$

$$f(r_{ij}, r_{ik}) = \exp\{-q(r_{ij}-r_o)^2 - q(r_{ik}-r_o)^2\} \quad (1d)$$

$$g(\theta_i) = h + \cos\{S(\theta_i - p)\} \quad (1e)$$

여기서  $E$ 는 탄소 클러스터의 총 결합에너지 를 나타내며,  $U_{ij}$ 와  $V_{ijk}$ 는 2체 퍼텐셜(two-body potential)과 3체 퍼텐셜(three-body potential)을 나타낸다. 또한  $n$ 은 클러스터내의 탄소원자의 총수를 나타내며,  $r_{jk}$ ,  $r_{ik}$ ,  $r_{ij}$  및  $\theta_i$ ,  $\theta_j$ ,  $\theta_k$ 는 각각 원자  $i$ ,  $j$  및  $k$ 에 의하여 형성되는 삼각형의 세변과 세각을 나타낸다. 이 식에서  $A$ ,  $B$ ,  $\alpha$ ,  $\beta$ ,  $Z$ ,  $q$ ,  $r_o$ ,  $h$ ,  $S$  및  $p$ 는 매개변수(parameter)들로서 그 값은 Table I에 보인 바와 같다.

Table I. Parameters of H Potential

$$A = 1.680776 \text{ E3}$$

$$\alpha = 3.996731 \text{ E0}$$

$$B = -3.416321 \text{ E2}$$

$$\beta = 2.383121 \text{ E0}$$

$$Z = 6.93 \text{ E0}$$

$$q = 5.41077 \text{ E-1}$$

$$r_o = 5.26144 \text{ E-2}$$

$$h = 1.04 \text{ E0}$$

$$S = 1.221 \text{ E0}$$

$$p = 0.50 \text{ E0}$$

한편, T퍼텐셜<sup>18)</sup>은 다음식과 같으며, 매개변수들의 값은 Table II에 보인 바와 같다.

$$E = \sum_i E_i = \frac{1}{2} \sum_{ij} V_{ij}$$

$$V_{ij} = f_C(r_{ij}) [a_{ij} f_R(r_{ij}) + b_{ij} f_A(r_{ij})], \quad (2a)$$

$$f_R(r) = A \exp(-\lambda_1 r),$$

$$f_A(r) = -B \exp(-\lambda_2 r), \quad (2b)$$

$$f_C(r) = \begin{cases} 1, & r < R \\ \frac{1}{2} - \frac{1}{2} \sin[\pi/2(r-R)/D], & R \leq r < D \\ 0, & r \geq D \end{cases}$$

$$\begin{aligned} r &< R-D \\ R-D &< r < R+D \\ r &> R+D \end{aligned} \quad (2c)$$

$$b_{ij} = (1 + \beta^n \zeta_{ij})^{-1/2n}, \quad (2d)$$

$$g(\theta) = 1 + c^2/d^2 - c^2/[d^2 + (h - \cos\theta)^2],$$

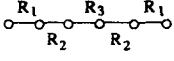
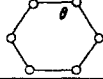
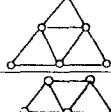
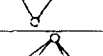
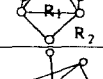
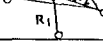
$$a_{ij} = (1 + \alpha^n \eta_{ij})^{-1/2n}, \quad (2e)$$

$$\eta_{ij} = \sum_{k \neq i,j} f_C(r_{ik}) \exp[\lambda_3^3(r_{ij}-r_{ik})^3]$$

Table II. Parameters of T Potential

	Si	C
A(eV)	3.264E3	1.33936E3
B(eV)	9.5373E1	3.4674E2
$\lambda_1(\text{\AA}^{-1})$	3.2394E0	3.4879E0
$\lambda_2(\text{\AA}^{-1})$	1.3258E0	2.2119E0
$\alpha$	0.	0.
$\beta$	3.3675E-1	1.5724E-7
n	2.2956E1	7.2751E-1
c	4.8381E0	3.8049E4
d	2.0417E0	4.3484E0
h	0.0000E0	-5.7058E-1
$\lambda_3(\text{\AA}^{-1})$	1.3258E0	2.2119E0
R(\text{\AA})	3.0	1.95
D(\text{\AA})	0.2	0.15

Table III. The calculated geometries and binding energies of C<sub>6</sub> clusters. R,  $\theta$  and E represent bond length in angstrom, bond angle in degree, and binding energy in eV, respectively.

C <sub>6</sub>	H potential	T potential	ab initio	experiment
	R <sub>1</sub> =1.303 R <sub>2</sub> =1.300 R <sub>3</sub> =1.298 E=31.63	R <sub>1</sub> =1.496 R <sub>2</sub> =1.550 R <sub>3</sub> =1.549 E=19.55	R <sub>1</sub> =1.299 R <sub>2</sub> =1.280 R <sub>3</sub> =1.273 <sup>16)</sup>	
	R=1.398 $\theta=120.0^\circ$ E=32.25	R=1.455 $\theta=120^\circ$ E=30.13	R=1.316 $\theta=90.4^\circ$ E=28.9 <sup>19)</sup>	E≤32.0 <sup>21)</sup>
	R=1.536 E=30.03	R=1.801 E=13.37		
	R=1.541 E=29.79	R=1.800 E=13.58		
	R <sub>1</sub> =1.740 R <sub>2</sub> =1.740 E=26.28	R <sub>1</sub> =2.084 R <sub>2</sub> =1.807 E=13.66	R <sub>1</sub> =1.528 R <sub>2</sub> =1.762 <sup>16)</sup>	
	R <sub>1</sub> =1.461 R <sub>2</sub> =1.467 E=25.56	R <sub>1</sub> =1.590 R <sub>2</sub> =1.334 E=17.03	R <sub>1</sub> =1.373 R <sub>2</sub> =1.690 <sup>16)</sup>	

여기서 i, j 및 k는 클러스터내의 탄소원자들을 나타내고,  $r_{ij}$ 는 ij결합길이를,  $Q_{ijk}$ 는 ij결합과 jk결합간의 결합각을 나타낸다.

시뮬레이션 방법은 1편에서 기술한 바와 같이 먼저 어떤 탄소 클러스터의 초기 형태를 임의로 정하고, 그 다음 주어진 경계조건 하에서 statics 시뮬레이션 테크닉을 기초로한 에너지 최소화 루틴(energy minimization routine)을 작동시킨다. 이 최소화 과정에서 주어진 PEF(potential energy function)를 사용하여 클러스터의 양상률(ensemble)에 대한 결합에너지 값들이 계산되고, 그 양상률들 중에서 최소에너지의 클러스터 형태가 결정된다.

### 3. 결과 및 검토

Table III은 본 시뮬레이션에서 구한 여러 형태의 C<sub>6</sub>클러스터에 대한 결합의 길이, 결합각 및 결합에너지 값들을 보인 것이다. C<sub>6</sub>클러스터들에 대한 H퍼텐셜과 T퍼텐셜의 시뮬레이션 결과 사이에는 상당히 큰 차이가 있다. H퍼텐셜에 의한 결합길이 값이 T퍼텐셜에 의한 그것보다 15-20% 가량 더 크며, H퍼텐셜에 의한 그것이 절반이 못되는 경우도 있다. 이러한 차이는 1편에서 보고한 C<sub>2</sub>-C<sub>6</sub>클러스터들에 대한 이 두 퍼텐셜에 의한 시뮬레이션

결과간의 차이보다 뚜렷이 더 큰 것이다. Ab initio 계산결과들과<sup>14)17)</sup> 비교할 때 작은 클러스터 영역에서는 Tersoff가 발표한 T퍼텐셜<sup>20)</sup>에 비해 H퍼텐셜이 훨씬 더 신뢰성 있는 결과를 제공하며, 이러한 차이는 탄소 클러스터의 원자수가 증가할수록 더 뚜렷해 진다고 할 수 있다. 결합에너지 값이 클수록 그 클러스터 구조가 더 안정하므로 H퍼텐셜에 의한 시뮬레이션 결과에 따르면 Table III에 보인 6가지 형태의 C<sub>6</sub>클러스터들 중에서 정육각형의 C<sub>6</sub>가 평형구조이고 나머지 C<sub>6</sub>클러스터들은 준평형구조라 할 수 있다. C<sub>6</sub>의 평형구조에 관하여 지금까지 보고된 내용들은 서로 상반되고 있어 아직까지 확실한 C<sub>6</sub>의 평형구조가 무엇인지에 대해서는 결론이 나 있지 않다. 1987년 Ewing과 Pfeiffer<sup>16)</sup>는 MINDO/2법을 사용하여 C<sub>6</sub>클러스터들의 에너지를 계산한 결과 직선형 C<sub>6</sub>가 육각형의 C<sub>6</sub>보다 더 안정한 것으로 보고한 바 있다. 그러나 그 후 Raghavachari와 Binkley<sup>19)</sup>는 ab initio계산에 의하여 C<sub>6</sub>의 가장 안정한 형태가 정육각형으로부터 좀 벗어난 육각형(distorted hexagonal form)인 것으로 보고하였다. 본 시뮬레이션에서 H퍼텐

설에 의하여 계산한 C<sub>6</sub>의 평형구조는 정육각형(regular equiangular hexagon)으로써 결합길이와 결합각면에서 좀 차이가 있으나 형태는 Raghavachari와 Binkley가 구한 그것과 유사한 반면, 결합길이와 결합각은 Ewing과 Pfeiffer가 구한 정육각형 구조의 그것들과 매우 유사한 그런 구조이다.

Table IV는 C<sub>7</sub>-C<sub>10</sub>클러스터 중에서 가장 안정한 형태로 예상되는 직선형과 사이클릭(cyclic)의 클러스터들에 대한 결합길이, 결합각 및 결합에너지 값을 보인 것이다. 본 연구에서 H퍼텐셜과 T퍼텐셜에 의하여 시뮬레이션한 결과에 의하면 C<sub>7</sub>, C<sub>8</sub>, C<sub>9</sub> 및 C<sub>10</sub>의 네 클러스터 모두에 대해 사이클릭이 직선형보다 에너지값이 더 큼, 즉 보다 더 안정한 구조이다. 이 결과는 C<sub>7</sub>과 C<sub>9</sub>에 대한 평형구조는 직선형이며, C<sub>8</sub>과 C<sub>10</sub>의 평형구조는 사이클릭이라는 Raghavachari와 Binkley<sup>19)</sup>의 ab initio 계산 결과와 불일치한다. 또한 Raghavachari와 Binkley가 구한 사이클릭 C<sub>8</sub>과 C<sub>10</sub>은 정8각형과 정10각형으로부터 다소 벗어난 8각형과 10각형구조인 반면, 본 연구에서 H 퍼텐셜로 구한 사이클릭 C<sub>8</sub>과 C<sub>10</sub>은 모두 정8각형 및

Table IV. The calculated geometries and binding energies of the linear and the cyclic forms of C<sub>7</sub>, C<sub>8</sub>, C<sub>9</sub>, and C<sub>10</sub> clusters. R<sub>1</sub>, R<sub>2</sub>, R<sub>3</sub>, etc. represent the bond lengths of linear forms from their edges(see Fig. 1). R and θ represent the bond length and the bond angle of cyclic forms, for example, as shown in Fig 1.

	Linear			Cyclic		
	H potential	T potential <sup>20)</sup>	ab initio <sup>19)</sup>	H potential	T potential <sup>20)</sup>	ab initio <sup>19)</sup>
C <sub>7</sub>	R <sub>1</sub> =1.303	R <sub>1</sub> =1.496	R <sub>1</sub> =1.270	R=1.396	R=1.453	
	R <sub>2</sub> =1.299	R <sub>2</sub> =1.550	R <sub>2</sub> =1.280	E=39.73	E=35.49	
	R <sub>3</sub> =1.298	R <sub>3</sub> =1.549	R <sub>3</sub> =1.264			
	E=38.02	E=23.16	E=38.7			
C <sub>8</sub>	R <sub>1</sub> =1.303	R <sub>1</sub> =1.496		R=1.347	R=1.467	R <sub>1</sub> =1.24
	R <sub>2</sub> =1.299	R <sub>2</sub> =1.550			θ <sub>1</sub> =θ <sub>2</sub> ≈135.0°	R <sub>2</sub> =1.38
	R <sub>3</sub> =1.298	R <sub>3</sub> =1.549		E=46.96		θ <sub>1</sub> =107.1°
	R <sub>4</sub> =1.298	R <sub>4</sub> =1.549				θ <sub>2</sub> =162.9°
	E=44.40	E=26.78				E=44.3
C <sub>9</sub>	R <sub>1</sub> =1.303	R <sub>1</sub> =1.496	R <sub>1</sub> =1.269	R=1.334	R=1.482	
	R <sub>2</sub> =1.299	R <sub>2</sub> =1.550	R <sub>2</sub> =1.283			
	R <sub>3</sub> =1.298	R <sub>3</sub> =1.549	R <sub>3</sub> =1.261	E=52.93	E=41.19	
	R <sub>4</sub> =1.298	R <sub>4</sub> =1.549	R <sub>4</sub> =1.269			
	E=50.79	E=30.40	E=51.0			
C <sub>10</sub>	R <sub>1</sub> =1.303	R <sub>1</sub> =1.496		R=1.325	R=1.492	R=1,290
	R <sub>2</sub> =1.299	R <sub>2</sub> =1.550			θ <sub>1</sub> =126.9°	
	R <sub>3</sub> =1.298	R <sub>3</sub> =1.549			θ <sub>2</sub> =161.1°	
	R <sub>4</sub> =1.298	R <sub>4</sub> =1.549		E=60.71	E=44.49	θ <sub>1</sub> =119.4°
	R <sub>5</sub> =1.298	R <sub>5</sub> =1.549				θ <sub>2</sub> =168.6°
	E=57.18	E=34.01				E=59.3

정10각형 구조를 가지는 것으로 나타났다.  $C_7$ - $C_{10}$  클러스터들의 평형구조에 관한 실험결과는 아직 보고된 것이 없다. 본 실험에서 사용한 반경협적 퍼텐셜에 의한 시뮬레이션이나 다른 사람들이 사용한 ab initio 시뮬레이션의 두 가지 시뮬레이션이 모두 이론적인 방법인 만큼 어느 쪽의 결과가 더 옳은지는 현 시점에서 결론내리기 어려우며, 앞으로 실험기술이 더 발달하여 정확한 실험결과가 나오든지, 아니면, 더 많은 이론적인 연구가 이루어져 다수의 보고가 일치할 때 비로소 확실한 결론이 얻어질 것이다.

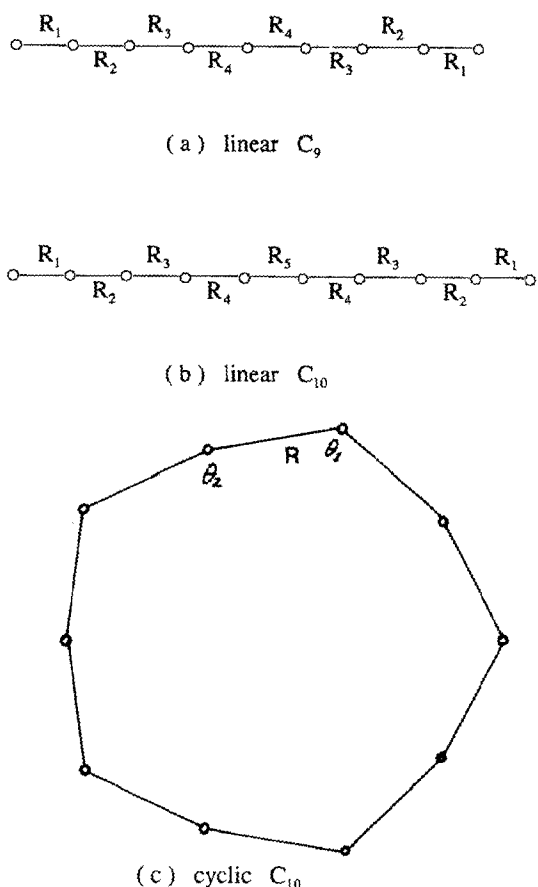


Fig. 1. Notations of the bond lengths and bond angles of linear  $C_9$ ,  $C_{10}$  and cyclic  $C_{10}$ .

#### 4. 결 론

반경협적 퍼텐셜인 H퍼텐셜을 기초로 한 시뮬레이션에 의하여 구한  $C_6$ - $C_{10}$ 에 대한 가장

안정된 구조는 사이클형, 즉 정6각형, 정7각형, …… 정10각형이었다. 이 결과는 Raghavachari와 Binkley<sup>[9]</sup>의 ab initio 계산 결과와는 부분적으로 불일치하지만, 본 논문의 1편에서 보고한  $C_2$ - $C_5$ 의 평형구조가 직선형이란 시뮬레이션 결과와 연계시켜 볼 때 클러스터내의 원자의 수, 즉 클러스터의 크기가 증가됨에 따라 클러스터의 평형구조가 1차원적인 구조(직선형)로 부터 2차원적인 구조(사이클형)로 발전해 가며, 일반적으로 비대칭형 구조보다는 대칭형 구조가 더 안정할 것이라는 예상과 일치한다. 또한 본 연구에서 구한  $C_6$ 에 대한 평형구조는 Raghvachari와 Binkley이외의 유일한 보고인 Ewing과 Pfeiffer<sup>[10]</sup>의 MINDO/2법에 의한 시뮬레이션 결과와 거의 일치한다.

#### 후 기

본 논문의 출판은 RETCAM을 통한 과학재단의 재정지원으로 이루어졌으므로 이에 감사드립니다.

#### 참 고 문 헌

- 1) 이종무, 한국재료학회지 1, 3, 139(1992).
- 2) Ransil B. J., Rev. Mod. Phys. 32 : 245 (1960)
- 3) Clementi E. and Mclean A. D., J. Chem. Phys. 36 : 45(1962).
- 4) Fougere P. F. and Nesbet R. K., J. Chem. Phys. 44 : 285(1966).
- 5) Liskow D. H. Bender C. F. and Schaefer H. F. III, J. Chem. Phys 56 : 5075
- 6) Peric-Radic J., Romelt J., Peyerimhoff S. D. and Buerker R. J., Chem. Phys. Lett. 50 : 344(1977).
- 7) Romelt J., Peyerimhoff S. D. and Buerker, Chem. Phys. Lett. 58 : 1(1978).
- 8) Whiteside R. A., Krishnan R., Frisch M. J., Pople J. A. and Schleyer von R. P., Chem. Phys. Lett. 30 : 547(1981).
- 9) Clementi E., J. Am. Chem. Soc. 83 : 4501 (1961).
- 10) Whiteside R. A., Krishnan R., Defrees D. J., Pople J. A. and Schleyer von R. P., Chem. Phys. Lett. 78 : 538(1981).

- 11) Pitzer K. S. and Clementi E., *J. Am. Chem. Soc.* 81 : 4477(1959).
- 12) Hoffman R., *Tetrahedron* 22 : 521(1966).
- 13) W. R. M. Graham, K. I. Dismuke, and W. Weltner, Jr., *Astrophys. J.* 204, 301 (1976).
- 14) D. H. Magers, R. J. Harrison, and R. J. Bartlett, *J. Chem. Phys.* 84(6), 3284 (1986).
- 15) Z. Slania and R. Zahradnik, *J. Phys. Chem.* 81, 2252(1977).
- 16) D. W. Ewing and G.V. Pfeiffer, in *Physics and Chemistry of Small Cluster*, edited by P. Jena, B.K. Rao, and S.N. Khanna(Ple-  
num Press, N.Y., 1987), P. 67.
- 17) B. K. Rao, S. N. Khanna, and P. Jena, *Sol. Stat. Comm.* 58, 1, 53(1986).
- 18) L. S. Ott and A. K. Ray, in "Physics and Chemistry of Small Clusters", edited by P. Jena, B. K. Rao and S. N. Khanna(Ple-  
num Press, N. Y., 1987), P. 95.
- 19) K. Raghavachari and J. S. Bingkley, *J. Chem. Phys.* 87, 2191(1987).
- 20) J. Tersoff, *Phys. Rev. B* 37, 6991(1988).
- 21) J. Drowart, R. P. Burns, G. DocMaria, and M. G. Inghram, *J. Chem. Phys.* 31, 1131(1959).